

Теория и расчет электростатических электронных зеркал с учетом релятивистских эффектов

© С.Б. Бимурзаев, Е.М. Якушев

Алматинский университет энергетики и связи им. Г. Даукеева,
050013 Алматы, Казахстан
e-mail: bimirzaev@mail.ru

Поступило в Редакцию 12 октября 2020 г.
В окончательной редакции 30 ноября 2020 г.
Принято к публикации 1 декабря 2020 г.

С помощью метода центральной частицы получены уравнения траектории заряженных частиц с точностью до величин третьего порядка малости включительно в осесимметричном электростатическом зеркале с учетом релятивистских эффектов. Определены условия пространственной фокусировки и коэффициенты пространственных aberrаций в гауссовой плоскости изображения зеркала при учете релятивистских эффектов. Путем численных расчетов определены условия одновременного устранения сферической и осевой хроматической aberrаций при учете релятивистских эффектов в осесимметричном электростатическом зеркале, когда предметная плоскость зеркала совмещена с его фокальной плоскостью. Показано, что учет высоких скоростей частиц приводит как к смещению положения гауссовой плоскости изображения, так и изменению качества фокусировки.

Ключевые слова: электронный микроскоп, электростатическое зеркало, сферическая aberrация, осевая хроматическая aberrация, релятивистский эффект.

DOI: 10.21883/JTF.2021.05.50701.290-20

Введение

В настоящее время электронные зеркала стали незаменимыми структурными элементами современного научного и технологического приборостроения, определяющие качество фокусировки таких приборов, как масс-спектрометры и электронные микроскопы. Реальное конструирование подобных приборов требует предельно точного расчета электронно-оптического тракта, в том числе учета релятивистских поправок, особенно в области электронной микроскопии. Как известно, главными факторами, ограничивающими разрешающую способность электронного микроскопа, являются сферическая и осевая хроматическая aberrации электронной линзы, выполняющей роль его объектива [1,2]. К настоящему времени достигнуты значительные успехи в разработке корректоров aberrаций, позволяющих одновременное устранение сферической и хроматической aberrаций объективной линзы электронного микроскопа как на основе мультипольных электрических и магнитных полей, так и на основе электростатического зеркала [3–9]. Однако в известных работах не учитывается влияние релятивистских эффектов на качество фокусировки, что особенно необходимо для высоковольтной (с ускоряющим напряжением 100 keV и выше) электронной микроскопии. Настоящая работа посвящена созданию теории пространственных aberrаций и расчету электростатического осесимметричного зеркала при учете влияния релятивистских эффектов на его фокусирующие свойства.

1. Уравнения траекторий

1.1. Уравнения траекторий в подвижной системе координат

Введем цилиндрическую систему координат r, ψ, z , ось z которой совместим с главной оптической осью зеркала. Электростатическое поле зеркала представим скалярным потенциалом $\varphi = \varphi(r, z)$, нормированным так, что в месте поворота частицы (где кинетическая энергия некоторой выбранной частицы равна нулю) и $\varphi \equiv \varphi_0$ в свободном от поля пространстве. Рассмотрим поток однородных частиц с зарядом e и массой покоя m_0 , движущихся в меридиональных плоскостях $\psi = \text{const}$ в окрестности главной оптической оси зеркала. При этих условиях вариационная функция Лагранжа L может быть представлена в виде

$$L = \sqrt{1 - \frac{1}{c^2} (\dot{r}^2 + \dot{z}^2)} - \gamma^2 \frac{\varphi}{\varphi_0}. \quad (1)$$

Здесь точками, как обычно, обозначено дифференцирование переменных по времени t . Безразмерная величина $\gamma^2 = -e\varphi_0/m_0c^2$, равная кинетической энергии, отнесенной к энергии покоя частиц, представляет собой количественную характеристику релятивистских эффектов поступающих в поле зеркала частиц. При этом уравнения движения частицы принимают вид

$$\frac{d}{dt} \left(\frac{\dot{r}}{c\sqrt{c^2 - \dot{r}^2 - \dot{z}^2}} \right) = \frac{\gamma^2}{\varphi_0} \frac{\partial \varphi}{\partial r}, \quad (2)$$

$$\frac{c}{\sqrt{c^2 - \dot{r}^2 - \dot{z}^2}} = 1 + \gamma^2 \left(\frac{\varphi}{\varphi_0} + \varepsilon \right). \quad (3)$$

Равенство (3) представляет собой закон сохранения полной энергии частиц. Обычно при исследовании аберраций используют этот закон для исключения времени из уравнений движения и введения в качестве независимой переменной координаты оптической оси z . С этим преобразованием связаны определенные математические трудности, вытекающие из того обстоятельства, что в полученных уравнениях появляются структуры типа $\sqrt{\varphi/\varphi_0 + \varepsilon}$ и $\sqrt{1 + r'^2}$ (штрихи обозначают дифференцирование по z). Наличие этих структур при линейаризации уравнений вынуждает принять, наряду с требованием малости r , следующие условия параксиального приближения: $\varepsilon\varphi_0/\varphi \ll 1$ и $r' \ll 1$, которые с очевидностью не могут быть удовлетворены в окрестности точки поворота электронных траекторий в электронном зеркале $\xi = z_u$, где $\varphi_{z \rightarrow z_u} \rightarrow 0$ и $r'_{z \rightarrow z_u} \rightarrow \infty$. Поэтому в наших дальнейших исследованиях будем следовать методу „центральной частицы“ [10,11], позволяющему преодолеть указанные трудности.

Сначала с учетом (3) приведем систему уравнений (2)–(3) к виду:

$$\frac{d}{dt} \left\{ \frac{\dot{r}}{c^2} \left[1 + \gamma^2 \left(\frac{\varphi}{\varphi_0} + \varepsilon \right) \right] \right\} = \frac{\gamma^2}{\varphi_0} \frac{\partial \varphi}{\partial r}, \quad (4)$$

$$\frac{1}{c^2} (\dot{r}^2 + \dot{z}^2) = \gamma^2 \left(\frac{\varphi}{\varphi_0} + \varepsilon \right) \times \left[2 + \gamma^2 \left(\frac{\varphi}{\varphi_0} + \varepsilon \right) \right] \left[1 + \gamma^2 \left(\frac{\varphi}{\varphi_0} + \varepsilon \right) \right]^{-2}. \quad (5)$$

Затем выберем в качестве центральной частицы одну из частиц, движущихся вдоль оси z с $\varepsilon = 0$. При этом положение центральной частицы на оси z в текущий момент времени будем обозначать через ξ и свяжем с этой частицей начало подвижной системы координат r, ψ, η , введя замену переменной

$$z = \xi + \eta, \quad (6)$$

где $\eta = \eta(\xi)$ — малая величина, определяющая продольное смещение произвольной частицы от центральной. Идея введения подвижной системы координат состоит в том, что исключение времени из уравнений движения в этой системе не приводит к указанным нежелательным последствиям. Кроме того, в подвижной системе координат продольные и поперечные смещения (η и r) могут рассматриваться как малые величины, следовательно, и относительные скорости частиц ($\dot{\eta}$ и \dot{r}) могут оставаться малыми даже при релятивистских скоростях центральной частицы, что несомненно упрощает абберационный анализ.

Из соотношения (5) найдем скорость центральной частицы

$$\frac{\dot{\xi}}{c} = \sigma \gamma \frac{\sqrt{\Phi(2 + \gamma^2\Phi)}}{1 + \gamma^2\Phi}, \quad (7)$$

где σ — знаковый множитель, характеризующий направление движения частицы вдоль оси z , а $\Phi = \Phi(\xi)$ — безразмерная функция аргумента ξ , та же, что и функция

$\Phi(z) = \varphi(o, z)/\varphi_0$ аргумента z , описывающая осевое распределение потенциала. При этом за пределами поля зеркала $\Phi(\xi) \equiv 1$, а в особой точке (при $\xi = z_u$) имеют место соотношения $\Phi(z_u) = 0, \Phi'(z_u) \neq 0$, характерные для электронного зеркала.

Используя равенства (6) и (7), введем в уравнения (4) и (5) новую независимую переменную ξ и динамическую переменную η , исключив из этих уравнений t и z . Выполнив соответствующие преобразования, получим

$$\begin{aligned} & \sqrt{\bar{\Phi}} \frac{d}{d\xi} \left(\sqrt{\bar{\Phi}} \frac{dr}{d\xi} \right) \\ &= \frac{1}{2\varphi_0} \frac{\partial \varphi}{\partial r} - \gamma^2 \sqrt{\bar{\Phi}} \frac{d}{d\xi} \left[\sqrt{\bar{\Phi}} \left(\frac{\varphi}{\varphi_0} + \varepsilon \right) \frac{dr}{d\xi} \right], \quad (8) \end{aligned}$$

$$\begin{aligned} & \bar{\Phi} [r'^2 + (1 + \eta')^2] \\ &= \left(\frac{\varphi}{\varphi_0} + \varepsilon \right) \left[1 + \frac{1}{2} \gamma^2 \left(\frac{\varphi}{\varphi_0} + \varepsilon \right) \right] \left[1 + \gamma^2 \left(\frac{\varphi}{\varphi_0} + \varepsilon \right) \right]^2. \quad (9) \end{aligned}$$

Здесь и далее

$$\bar{\Phi} = \Phi \left(1 + \frac{1}{2} \gamma^2 \Phi \right) (1 + \gamma^2 \Phi)^{-2}, \quad (10)$$

а штрихи обозначают дифференцирование по переменной.

Следует отметить, что при выводе уравнений (8) и (9) не вводилось никаких дополнительных ограничений, поэтому эти уравнения справедливы при любых значениях r, ε и при любых энергиях φ_0 поступающих в систему частиц.

1.2. Линейаризация уравнений траекторий

Качество фокусировки определяется абберациями, понимаемыми как отклонения от параксиального приближения. Одной из основных задач корпускулярной оптики является установление типов аббераций, присущих данной системе, а затем устранение или уменьшение наиболее важных из них. Для определения пространственных хроматических и геометрических аббераций до третьего порядка достаточно в уравнениях траекторий удержать члены не выше третьего малости относительно r и первого порядка — относительно $r\varepsilon$. С этой целью будем искать решения уравнений (8) и (9) для области, близкой к главной оптической оси, и при малых значениях ε .

Из представления о центральной частице следует, что для нее величина η равна нулю. Это значит, что существует решение $\eta = \eta(\xi)$ уравнения (9), величина которого мала при малых значениях r и ε . Мы будем пользоваться именно этим решением.

Используя известное распределение потенциала вблизи оси z

$$\frac{\varphi(r, z)}{\varphi_0} = \Phi(z) - \frac{r^2}{4} \frac{d^2\Phi(z)}{dz^2} + \frac{r^4}{64} \frac{d^4\Phi(z)}{dz^4} - \dots, \quad (11)$$

а также разложения типа

$$f(z) = f(\xi + \eta) = f(\xi) + \eta f'(\xi) + \dots, \quad (12)$$

получим

$$\sqrt{\Phi \left(1 + \frac{1}{2}\gamma^2\Phi\right)} \frac{d}{d\xi} \left[\sqrt{\Phi \left(1 + \frac{1}{2}\gamma^2\Phi\right)} \frac{dr}{d\xi} \right] + \frac{1}{4}\Phi''r(1 + \gamma^2\Phi) = S + \gamma^2 S_\gamma^{(3)}, \quad (13)$$

$$2\tilde{\Phi}\eta' - \Phi'\eta = \tilde{F}, \quad (14)$$

где

$$S = \frac{1}{32}\Phi^{IV}r^3 - \frac{1}{4}\Phi'''r\eta, \quad (15)$$

$$S_\gamma^{(3)} = \Phi S - \sqrt{\Phi \left(1 + \frac{1}{2}\gamma^2\Phi\right)} \times \frac{d}{d\xi} \left[\frac{\delta}{(1 + \gamma^2\Phi)} \sqrt{\Phi \left(1 + \frac{1}{2}\gamma^2\Phi\right)} \frac{dr}{d\xi} \right], \quad (16)$$

$$\tilde{F} = \varepsilon - \frac{1}{4}\Phi''r^2 - \tilde{\Phi}r'^2. \quad (17)$$

Здесь и далее

$$\tilde{\Phi} = \Phi \left(1 + \frac{1}{2}\gamma^2\Phi\right) (1 + \gamma^2\Phi), \quad (18)$$

$$\delta = \varepsilon + \Phi'\eta - \frac{1}{4}\Phi''r^2. \quad (19)$$

При равенстве нулю правой части уравнения (13) получим уравнение, совпадающее по форме с известным уравнением параксиальных траекторий при высоких скоростях для электростатических линз [12]:

$$\sqrt{\Phi \left(1 + \frac{1}{2}\gamma^2\Phi\right)} \frac{d}{d\xi} \left[\sqrt{\Phi \left(1 + \frac{1}{2}\gamma^2\Phi\right)} \frac{dr}{d\xi} \right] + \frac{1}{4}(1 + \gamma^2\Phi)\Phi''r = 0. \quad (20)$$

Из линейности и однородности этого уравнения относительно r следует, что электростатическое зеркало при релятивистских скоростях электронов способно создавать правильное электронно-оптическое изображение.

Для удобства анализа перепишем (20) следующим образом:

$$\sqrt{\Phi} \frac{d}{d\xi} \left(\sqrt{\Phi} \frac{dr}{d\xi} \right) + \frac{1}{4}\Phi''r - \gamma^2 S_\gamma^{(1)} = 0, \quad (21)$$

где

$$S_\gamma^{(1)} = -\frac{1}{4}\Phi \left(\Phi'r' + \frac{1}{2}\Phi''r \right). \quad (22)$$

Величина $\gamma^2 S_\gamma^{(1)}$, как видно из (20)–(22), определяет величину смещения гауссовой плоскости изображения

в релятивистском случае относительно ее положения, определяемого уравнением параксиальных траекторий в нерелятивистском приближении:

$$\sqrt{\Phi} \frac{d}{d\xi} \left(\sqrt{\Phi} \frac{dr}{d\xi} \right) + \frac{1}{4}\Phi''r = 0, \quad (23)$$

С учетом (20), (21) уравнение (13) принимает вид

$$\sqrt{\Phi} \frac{d}{d\xi} \left[\sqrt{\Phi} \frac{dr}{d\xi} \right] + \frac{1}{4}\Phi''r = S + \gamma^2 \left(S_\gamma^{(1)} + S_\gamma^{(3)} \right). \quad (24)$$

Откуда с учетом очевидного неравенства $S_\gamma^{(3)} \ll S_\gamma^{(1)}$ получим

$$\sqrt{\Phi} \frac{d}{d\xi} \left(\sqrt{\Phi} \frac{dr}{d\xi} \right) + \frac{1}{4}\Phi''r = S + \gamma^2 S_\gamma^{(1)}. \quad (25)$$

Следует отметить, что между уравнениями (13) и (25) имеется одно очень важное отличие. Уравнение (13) пригодно для интегрирования методом последовательных приближений при любых скоростях частиц, поскольку малость его правой части обеспечивается только условиями параксиального приближения, в то время как малость правой части уравнения (25) обеспечивается не только условиями параксиального приближения, но и требованием сравнительно невысоких скоростей поступающих в зеркало частиц: $\gamma^2 \ll 1$ (случай субрелятивистского приближения).

В этом случае система уравнений (13) и (14) с учетом (20), (22) и (25) принимает вид

$$\Phi r'' + \left(\frac{1}{2}\Phi'r' + \frac{1}{4}\Phi''r \right) \left(1 + \frac{1}{2}\gamma^2\Phi \right) \quad (26)$$

$$= \frac{1}{32}\Phi^{IV}r^3 - \frac{1}{4}\Phi'''r\eta,$$

$$2\Phi\eta' - \Phi'\eta = \varepsilon - \frac{1}{4}\Phi''r^2 - \Phi r'^2. \quad (27)$$

1.3. Интегрирование уравнений траекторий

Уравнения (26), (27) записаны в такой форме, которая при указанных условиях допускает их решение методом последовательных приближений. При этом малость правых частей этих уравнений обеспечивается малостью Φ величины $\sqrt{\Phi}r'$. Малость величины $\sqrt{\Phi}r'$ обусловлена либо малостью Φ в окрестности особой точки $\xi = z_u$, где $\Phi(z_u) = 0$, а r' в общем случае не может считаться малой, либо малостью r' в удаленных от особой точки областях.

Для решения системы уравнений (26), (27) сначала найдем величину $U = U(\xi)$, определяющую r в первом приближении, положив правую часть (26) равной нулю. Подставив U в правую часть уравнения (27), вычислим $\eta = \eta(\xi)$. Далее, подставив U и η в правую часть уравнения (26), найдем частное решение $\chi = \chi(\xi)$ уравнения (26). При этом общее решение этого уравнения будет иметь вид

$$r = U + \chi. \quad (28)$$

При равенстве нулю правой части (26) имеем линейное однородное дифференциальное уравнение первого порядка

$$\bar{\Phi}U'' + \frac{1}{2}\Phi'U' + \frac{1}{4}\Phi''U = 0, \quad (29)$$

где

$$\bar{\Phi} = \Phi / \left(1 + \frac{1}{2}\gamma^2\Phi\right). \quad (30)$$

В случае электронного зеркала, как указано выше, на главной оптической оси системы имеется точка $\xi = z_u$, в которой $\Phi(z_u) = 0$, а $\Phi'(z_u) \neq 0$. Эта точка является регулярной особой точкой для коэффициентов уравнения (29) при U и U' . В соответствии с теорией такого рода уравнений [13] выберем два линейно независимых частных решения этого уравнения, из которых одно $p = p(\xi)$ является аналитической функцией, а другое может быть представлено в виде

$$g = q\sqrt{\bar{\Phi}}, \quad (31)$$

где $q = q(\xi)$ — также аналитическая функция, удовлетворяющая уравнению

$$\bar{\Phi}q'' + \frac{3}{2}\Phi'q' + \frac{3}{4}\Phi''q = 0, \quad (32)$$

следующему из (29) и (31).

Зададим начальные условия в особой точке $\xi = z_u$:

$$p_u = q_u = 1. \quad (33)$$

В точке $\xi = z_u$ аналитические функции $p = p(\xi)$ и $q = q(\xi)$ имеют все производные, первая из которых имеет следующий вид:

$$p'_u = q'_u = -\frac{1}{2}\frac{\Phi''_u}{\Phi'_u}. \quad (34)$$

Здесь и далее индексом „ u “ отмечены значения величин в точке $\xi = z_u$.

Используя эти частные решения как фундаментальную систему решений уравнения (29), общее решение этого уравнения представим в виде

$$U = ap + bg, \quad (35)$$

где a и b — произвольные постоянные.

С учетом (35) решение уравнения (27) представим в виде

$$\eta = a^2\eta_p + ab\eta_{pg} + b^2\eta_g + \varepsilon\eta_\varepsilon, \quad (36)$$

где $\eta_p, \eta_{pg}, \eta_g, \eta_\varepsilon$ — решения линейных неоднородных дифференциальных уравнений первого порядка

$$2\Phi\eta'_j - \Phi'\eta_j = -F_j, \quad (j = p, pg, g, \varepsilon). \quad (37)$$

Здесь и далее

$$F_p = \frac{1}{4}\Phi''p^2 + \Phi p'^2, \quad \frac{1}{2}F_{pg} = \frac{1}{4}\Phi''pg + \Phi p'g',$$

$$F_g = \frac{1}{4}\Phi''g^2 + \Phi g'^2, \quad F_\varepsilon = -1. \quad (38)$$

При этом в точке $\xi = z_u$ имеет место равенство

$$\eta_{ju} = \frac{F_{ju}}{\Phi'_u} \quad (j = p, pg, g, \varepsilon). \quad (39)$$

В особой точке $\xi = z_u$ коэффициенты уравнений (37) при $\eta_p, \eta_{pg}, \eta_g, \eta_\varepsilon$ и в свободном члене обращаются в бесконечность. Поэтому для упрощения решения уравнения (37) перепишем его путем умножения на интегрирующий множитель $\frac{1}{2\Phi\sqrt{\bar{\Phi}}}$ в виде уравнений в полных дифференциалах:

$$\left(\frac{\eta_j - \eta_{ju}}{\sqrt{\bar{\Phi}}}\right)' = -\frac{1}{2\Phi\sqrt{\bar{\Phi}}}\left(F_j - F_{ju}\frac{\Phi'}{\Phi'_u}\right), \quad (j = p, pg, g, \varepsilon). \quad (40)$$

Решая эти уравнения с учетом (29) и (32), получим

$$\eta_p = -\frac{1}{2}pp' + \frac{\sqrt{\bar{\Phi}}}{2} \int_{z_u}^{\xi} \frac{pp''}{\sqrt{\bar{\Phi}}} \left(1 + \frac{\bar{\Phi}}{\Phi}\right) d\xi, \quad (41)$$

$$\eta_{pg} = \sqrt{\bar{\Phi}}p'_u - gp' + \sqrt{\bar{\Phi}} \int_{z_u}^{\xi} qp'' \left(1 + \frac{\bar{\Phi}}{\Phi}\right) d\xi, \quad (42)$$

$$\eta_g = \frac{1}{4}\frac{\bar{\Phi}}{\Phi}\Phi'q^2 - \frac{1}{2}\Phi qq' + \frac{\sqrt{\bar{\Phi}}}{2} \int_{z_u}^{\xi} \sqrt{\bar{\Phi}}qq'' \left(1 + \frac{\bar{\Phi}}{\Phi}\right) d\xi, \quad (43)$$

$$\eta_\varepsilon = -\frac{1}{\Phi'_u} \left[1 + \frac{\sqrt{\bar{\Phi}}}{2} \int_{z_u}^{\xi} \frac{1}{\Phi\sqrt{\bar{\Phi}}}(\Phi' - \Phi'_u)d\xi\right]. \quad (44)$$

Отметим, что величины $\eta_p, \eta_{pg}, \eta_g, \eta_\varepsilon$ повсюду конечны вместе со своими производными.

Теперь определим частное решение $\chi = \chi(\xi)$ уравнения (26). С учетом (35) и (36) представим его в виде

$$\chi = a^3\chi_1 + a^2b(\chi_2 + \chi_3) + ab^2(\chi_4 + \chi_5) + b^3\chi_6 + \varepsilon(a\chi_7 + b\chi_8), \quad (45)$$

где $\chi_m = \chi_m(\xi)$ ($m = 1 - 8$) — решения линейных неоднородных дифференциальных уравнений второго порядка

$$\Phi\chi''_m + \left(\frac{1}{2}\Phi'\chi'_m + \frac{1}{4}\Phi''\chi_m\right) \left(1 + \frac{1}{2}\gamma^2\Phi\right) = S_m \quad (m = 1 - 8). \quad (46)$$

Здесь

$$\begin{aligned} S_1 &= pS_p, & S_2 &= gS_p, \\ S_3 &= pS_{pg}, & S_4 &= gS_{pg}, \\ S_5 &= pS_g, & S_6 &= gS_g, \end{aligned}$$

$$S_7 = pS_\varepsilon, \quad S_8 = gS_\varepsilon, \quad (47)$$

где

$$\begin{aligned} S_p &= \frac{1}{32}\Phi^{IV}p^2 - \frac{1}{4}\Phi''' \eta_p, \\ S_{pg} &= \frac{1}{16}\Phi^{IV}pg - \frac{1}{4}\Phi''' \eta_{pg}, \\ S_g &= \frac{1}{32}\Phi^{IV}g^2 - \frac{1}{4}\Phi''' \eta_g, \\ S_\varepsilon &= \frac{1}{32}\Phi''' \eta_\varepsilon. \end{aligned} \quad (48)$$

Решая уравнения (46) методом вариации произвольных постоянных, получим

$$\chi_j = -\frac{1}{W} \left[p \int_{z_u}^{\xi} \frac{gS_j}{\sqrt{\Phi}} d\xi - g \int_{z_u}^{\xi} \frac{pS_j}{\sqrt{\Phi}} d\xi \right], \quad (49)$$

где W — инвариант Вронского:

$$W = \sqrt{\Phi}(pg' - p'g) = \frac{1}{2}\Phi'_u. \quad (50)$$

Подынтегральные выражения в (49), как видно из (47), (48), содержат величины $\eta_p, \eta_{pg}, \eta_g, \eta_\varepsilon$, которые, в свою очередь, определены через интегралы (41)–(44). Численный расчет двойных интегралов связан с определенными трудностями. Для приведения частных решений $\chi_m = \chi_m(\xi)$ ($m = 1-8$) к удобному для численных расчетов виду выполнены следующие преобразования. Во-первых, от таких двойных интегралов можно освободиться интегрированием по частям с помощью равенств, следующих из (37), (38):

$$\begin{aligned} \frac{1}{4}\Phi''' p^2 &= F'_p, \quad \frac{1}{4}\Phi''' pg = \frac{1}{2}F'_{pg}, \quad \frac{1}{4}\Phi''' g^2 = F'_g, \\ F'_l \left(\frac{\eta_\varepsilon}{\sqrt{\Phi}} \right) &= \left(\frac{F_l \eta_\varepsilon + \eta_l}{\sqrt{\Phi}} \right)', \quad (l = p, pg, g). \end{aligned} \quad (51)$$

Кроме того, используя равенства

$$pS_2 = gS_1, \quad pS_4 = gS_3, \quad pS_6 = gS_5, \quad pS_8 = gS_7, \quad (52)$$

$$\begin{aligned} gS_4 - 2pS_6 &= \frac{1}{4}\Phi''' (2pg\eta_g - g^2\eta_{pg}) \\ &= 2\sqrt{\Phi} \left[\sqrt{\Phi} (\eta_{pg}\eta'_g - \eta_g\eta'_{pg}) \right]', \end{aligned} \quad (53)$$

$$\begin{aligned} pS_3 - 2gS_1 &= \frac{1}{4}\Phi''' (2pg\eta_g - p^2\eta_{pg}) \\ &= 2\sqrt{\Phi} \left[\sqrt{\Phi} (\eta_{pg}\eta'_p - \eta_p\eta'_{pg}) \right]', \end{aligned} \quad (54)$$

$$\begin{aligned} gS_2 - 2pS_5 &= \frac{1}{4}\Phi''' (p^2\eta_g - g^2\eta_p) \\ &= 2\sqrt{\Phi} \left[\sqrt{\Phi} (\eta_p\eta'_g - \eta_g\eta'_p) \right]', \end{aligned} \quad (55)$$

следующие также из равенств (37), (38) и (41)–(44), можно сократить количество интегралов, определяющих $\chi_m = \chi_m(\xi)$ ($m = 1-8$).

Далее, используя очевидные равенства

$$\begin{aligned} \frac{1}{2}pF_{pg} - gF_p &= \sqrt{\Phi}Wp', \\ pF_g - \frac{1}{2}gF_{pg} &= \sqrt{\Phi}Wg', \end{aligned} \quad (56)$$

следующие из (29) и (38), решения $\chi_m = \chi_m(\xi)$ ($m = 1-8$) можно записать в виде

$$\chi_1 = \eta_p p' + pJ_2 - gJ_1, \quad (57)$$

$$\chi_2 = \eta_p g' + pJ_4 - g \left(J_2 - \frac{1}{2}p'^2 \right), \quad (58)$$

$$\chi_3 = \eta_{pg} p' + 2 \left[pJ_3 - g \left(J_2 - \frac{1}{2}p'^2 \right) \right], \quad (59)$$

$$\chi_4 = \eta_{pg} g' + 2 \left[pJ_5 - g \left(J_3 - \frac{1}{2}p'g' \right) \right], \quad (60)$$

$$\chi_5 = \eta_g p' + pJ_5 - g \left(J_4 - \frac{1}{2}p'g' \right), \quad (61)$$

$$\chi_6 = \eta_g g' + pJ_6 - g \left(J_5 - \frac{1}{2}g'^2 \right), \quad (62)$$

$$\chi_7 = \eta_\varepsilon p' + pJ_8 - gJ_7, \quad (63)$$

$$\chi_8 = \eta_\varepsilon g' + pJ_9 - g \left(J_8 - \frac{1}{2}\Phi \right). \quad (64)$$

Здесь

$$J_1 = -\frac{1}{\Phi'_u} \int_{z_u}^{\infty} \frac{1}{\sqrt{\Phi}} \left[L_p p^3 + \left(1 + \frac{\bar{\Phi}}{\Phi} \right) F_p p p'' \right] d\xi, \quad (65)$$

$$\begin{aligned} J_2 &= -\frac{1}{\Phi'_u} \int_{z_u}^{\infty} \frac{1}{\Phi} \left[L_p p^2 g + \left(1 + \frac{\bar{\Phi}}{\Phi} \right) F_{pg} p p'' \right] d\xi \\ &\quad + \frac{1}{4} \left(1 - \frac{\bar{\Phi}}{\Phi} \right) p'^2, \end{aligned} \quad (66)$$

$$J_3 = -\frac{1}{\Phi'_u} \int_{z_u}^{\infty} \frac{1}{\Phi} \left[L_p p g^2 + \frac{1}{2} \left(1 + \frac{\bar{\Phi}}{\Phi} \right) F_{pg} g p'' \right] d\xi, \quad (67)$$

$$J_4 = -\frac{1}{\Phi'_u} \int_{z_u}^{\infty} \left[L_g p^2 g + \left(1 + \frac{\bar{\Phi}}{\Phi} \right) F_p g q'' \right] d\xi, \quad (68)$$

$$J_5 = -\frac{1}{\Phi'_u} \int_{z_u}^{\infty} \left[L_g p g^2 + \frac{1}{2} \left(1 + \frac{\bar{\Phi}}{\Phi} \right) F_{pg} g q'' \right] d\xi, \quad (69)$$

$$J_6 = -\frac{1}{\Phi'_u} \int_{z_u}^{\infty} \left[L_g g^3 + \left(1 + \frac{\bar{\Phi}}{\Phi} \right) F_g g q'' \right] d\xi, \quad (70)$$

$$J_7 = \frac{1}{\Phi'_u} \int_{z_u}^{\infty} \frac{pp''}{\sqrt{\Phi}} \left(1 + \frac{\bar{\Phi}}{\Phi}\right) d\xi, \quad (71)$$

$$J_8 = \frac{1}{\Phi'_u} \int_{z_u}^{\infty} qp'' \left(1 + \frac{\bar{\Phi}}{\Phi}\right) d\xi, \quad (72)$$

$$J_9 = \frac{1}{\Phi'_u} \int_{z_u}^{\infty} \sqrt{\Phi}qq'' \left(1 + \frac{\bar{\Phi}}{\Phi}\right) d\xi, \quad (73)$$

где

$$L_p = \frac{1}{16} (\Phi^{IV} p + 4\Phi''' p'),$$

$$L_g = \frac{1}{16} \left[\left(\Phi^{IV} - 2 \frac{\bar{\Phi}}{\Phi} \frac{\Phi'''\Phi'}{\Phi} \right) q + 4\Phi''' q' \right]. \quad (74)$$

Здесь и далее знак „ ∞ “ означает, что верхняя граница интегрирования отодвинута на бесконечность. Это, очевидно, не может изменить результата, так как подынтегральная функция равна нулю в свободных от поля областях.

С учетом (36) и (57)–(64), можно записать (45) в виде

$$\chi = \eta(ap' + bg') + \Lambda, \quad (75)$$

где $\Lambda = \Lambda(\xi)$ — величина, не содержащая динамическую переменную $\eta = \eta(\xi)$:

$$\Lambda = a^3\Lambda_1 + a^2b\Lambda_2 + ab^2\Lambda_3 + b^3\Lambda_4 + \varepsilon(a\Lambda_5 + b\Lambda_6). \quad (76)$$

Здесь

$$\Lambda_1 = pJ_2 - gJ_1, \quad (77)$$

$$\Lambda_2 = p(2J_3 + J_4) - 3g \left(J_2 - \frac{1}{2}p'^2 \right), \quad (78)$$

$$\Lambda_3 = 3pJ_5 - g \left(2J_3 + J_4 - \frac{3}{2}g'p' \right), \quad (79)$$

$$\Lambda_4 = pJ_6 - g \left(J_5 - \frac{1}{2}p'^2 \right), \quad (80)$$

$$\Lambda_5 = pJ_8 - gJ_7, \quad (81)$$

$$\Lambda_6 = pJ_9 - g \left(J_8 + \frac{1}{2\Phi} \right). \quad (82)$$

Таким образом, в подвижной системе координат уравнения траекторий частиц в поле зеркала от особой точки $\xi = z_u$ до произвольной точки $\xi = \text{const}$ описываются системой уравнений

$$r = ap(\xi) + bg(\xi) + \eta(\xi)[ap'(\xi) + bg'(\xi)] + \Lambda, \quad (83)$$

$$z = \xi + a^2\eta_p(\xi) + ab\eta_{pg}(\xi) + b^2\eta_g(\xi) + \varepsilon\eta_\varepsilon(\xi), \quad (84)$$

следующих из равенств (6), (28), (35), (36) и (75).

1.4. Уравнения траекторий в лабораторной системе координат

Система уравнений (83), (84) определяет в параметрическом виде траектории частиц в движущейся системе координат в зависимости от положения ξ на главной оптической оси z некоторой выбранной (центральной) частицы. Для того чтобы получить уравнение траекторий частиц $r = r(z)$ в виде явной зависимости от координаты z оптической оси системы, выполним следующие преобразования. Разрешим уравнение (84) относительно ξ и подставим зависимость $\xi = z - \eta(z)$ в уравнение (83). Затем удержим в разложении величины не выше третьего порядка малости относительно начальных параметров движения частицы a, b, ε .

После выполнения этих преобразований уравнения траекторий принимает обычный для лабораторной системы координат вид

$$r = ap + bg + \Lambda. \quad (85)$$

Здесь и далее $p = p(z)$, $g = g(z)$, $\Lambda = \Lambda(z)$ — функции, ранее определенные как функции от ξ .

Для определения конкретной траектории необходимо выразить произвольные постоянные a и b через начальные условия. При этом необходимо учесть, что электронные зеркала характеризуются наличием двух ветвей траектории: прямой — от начальной (предметной) плоскости до точки поворота, и обратной — от точки поворота до произвольной плоскости. При этом, как следует из условия непрерывности траектории частицы и ее скорости в окрестности точки поворота, различие уравнений для прямой и обратной ветвей траектории состоит лишь в том, что значения постоянной a для прямой и обратной ветвей траектории совпадают, а значения постоянной b — различаются знаком [10]. Тогда уравнения траектории и ее наклона к оси z с точностью до величин третьего порядка малости можно записать в виде

$$r = ap(z) \pm bg(z) + \Lambda, \quad (86)$$

$$r' = ap'(z) \pm bg'(z) + \Lambda', \quad (87)$$

где

$$\Lambda = a^3\Lambda_1 \pm a^2b\Lambda_2 + ab^2\Lambda_3 \pm b^3\Lambda_4 + \varepsilon(a\Lambda_5 \pm b\Lambda_6), \quad (88)$$

$$\Lambda' = a^3\Lambda'_1 \pm a^2b\Lambda'_2 + ab^2\Lambda'_3 \pm b^3\Lambda'_4 + \varepsilon(a\Lambda'_5 \pm b\Lambda'_6). \quad (89)$$

Здесь и далее при двойном знаке „ \pm “ знак „+“ относится к прямой ветви траектории, а знак „–“ — к обратной, а штрихи обозначают дифференцирование по переменной z .

Решая систему уравнений (86), (87) для прямой ветви, получим

$$a = \alpha + \frac{2}{\Phi'_u} (g_0\Lambda'_0 - g'_0\Lambda_0),$$

$$b = \beta - \frac{2}{\Phi'_u}(p_0\Lambda'_0 - p'_0\Lambda_0), \quad (90)$$

где

$$\alpha = -\frac{2}{\Phi'_u}(g_0r'_0 - g'_0r_0), \quad \beta = \frac{2}{\Phi'_u}(p_0r'_0 - p'_0r_0). \quad (91)$$

Здесь и далее индексом „0“ отмечены значения величин в начальной (предметной) плоскости $z = z_0$.

С учетом (90), (91), уравнение траектории для обратной ветви можно записать в виде

$$r = U + \Delta r, \quad (92)$$

где

$$U = -\frac{2}{\Phi'_u}[r'_0(p_0g + pg_0) - r_0(p'_0g + pg'_0)] \quad (93)$$

— уравнение параксиальной траектории,

$$\Delta r = \Lambda + \frac{2}{\Phi'_u} \times [\Lambda'_0(p_0g + pg_0) - \Lambda_0(p'_0g + pg'_0)] \quad (94)$$

— суммарная пространственная aberrация.

2. Электронно-оптические свойства зеркала

2.1. Пространственная фокусировка

Условие пространственной фокусировки частиц, как это видно из (93), определяется равенством

$$p_0g(z_G) + p(z_G)g_0 = 0, \quad (95)$$

где $z = z_G$ — положение гауссовой плоскости изображения зеркала.

Откуда с учетом (93) следует

$$\frac{p(z_G)}{p_0} = -\frac{g(z_G)}{g_0} = \frac{U}{r_0} = M, \quad (96)$$

где M — линейное увеличение зеркала.

Как видно из (93), условие фокусировки параллельных пучков частиц определяется равенством

$$p'_0g(z_F) + p(z_F)g'_0 = 0, \quad (97)$$

где $z = z_F$ — положение фокальной плоскости зеркала.

Откуда с учетом (93) следует

$$\frac{p(z_F)}{p'_0} = -\frac{g(z_F)}{g'_0} = \frac{U}{r'_0} = f, \quad (98)$$

где f — фокусное расстояние зеркала.

2.2. Кардинальные элементы зеркала

Для определения кардинальных элементов воспользуемся характерными для зеркала траекториями. Решение $p = p(z)$ описывает траектории, прямые и обратные ветви которых совпадают, т.е. проходят через центр кривизны зеркала $z = z_C$, а решение $g = g(z)$ — траектории, прямые и обратные ветви которых симметричны относительно оптической оси зеркала, т.е. проходят через вершину зеркала $z = z_V$ [10]. Таким образом, когда предмет и его изображение находятся в свободном от поля пространстве, функции $p = p(z)$ и $g = g(z)$ можно записать в виде

$$p = (z - z_C)p', \quad g = (z - z_V)g'. \quad (99)$$

С учетом этих равенств из (97), (98) следует, что положение фокуса зеркала и его фокусное расстояние определяются равенствами

$$z_F = \frac{1}{2}(z_V + z_C), \quad f = \frac{1}{2}(z_V - z_C). \quad (100)$$

2.3. Аберрации

Суммарная aberrация (94) в гауссовой плоскости с учетом (95), (96) принимает вид

$$\Delta r = \Lambda - M\Lambda_0. \quad (101)$$

Перепишем это равенство с учетом (88) в виде

$$\Delta r = \alpha^3 G_1 + \alpha^2 \beta G_2 + \alpha \beta^2 G_3 + \beta^3 G_4 + \varepsilon(\alpha G_5 + \beta G_6), \quad (102)$$

где

$$G_i = \Lambda_i - M\Lambda_{0i}, \quad (i = 1, 3, 5), \\ G_i = -(\Lambda_i + M\Lambda_{0i}), \quad (i = 2, 4, 6). \quad (103)$$

Откуда с учетом (77)–(82) и (96) получим

$$G_1 = 2Mg_0J_1, \quad G_2 = -2Mp_0(2J_3 + J_4), \\ G_3 = 2Mg_0 \left(2J_3 + J_4 - \frac{3}{2}g'p' \right), \quad G_4 = -2Mp_0J_6, \\ G_5 = 2Mg_0J_7, \quad G_6 = -2Mp_0J_9. \quad (104)$$

После громоздких, но несложных преобразований с учетом (91) получим

$$\Delta r = M \left[r_0^3 B + 3r_0^2 r_0 F + r_0^2 r_0^2 (2C + D) + r_0^3 E + \varepsilon(r'_0 K_1 + r_0 K_2) \right], \quad (105)$$

где B, F, C, D, E — постоянные геометрических aberrаций зеркала: сферической, комы, астигматизма, кривизны поля изображения, дисторсии, а K_1 и K_2 — постоянные хроматической aberrации двух видов (осевой и изменения увеличений):

$$B = \frac{1}{R^3} [Z_V^4 \bar{J}_1 + 2Z_V^2 Z_C^2 (2\bar{J}_3 + \bar{J}_4) + Z_C^4 \bar{J}_6 + 3Z_V^2 Z_C^2], \quad (106)$$

$$F = -\frac{1}{R^3} \left[Z_V^2 \bar{J}_1 + 2(2\bar{J}_3 + \bar{J}_4) Z_V Z_C Z_F + Z_C^3 \bar{J}_6 + Z_V Z_C (2Z_V + Z_C) \right], \quad (107)$$

$$C = \frac{1}{R^3} \left[Z_V^2 \bar{J}_1 + 2Z_V Z_C (2\bar{J}_3 + \bar{J}_4) + Z_C^2 \bar{J}_6 + Z_V (2Z_C + Z_V) \right], \quad (108)$$

$$D = \frac{1}{R^3} \left[Z_V^2 \bar{J}_1 + (Z_V^2 + Z_C^2) (2\bar{J}_3 + \bar{J}_4) + Z_C^2 \bar{J}_6 + Z_V (2Z_C + Z_V) \right], \quad (109)$$

$$E = -\frac{1}{R^3} \left[Z_V \bar{J}_1 + 2Z_F (2\bar{J}_3 + \bar{J}_4) + Z_C \bar{J}_6 + 3Z_V \right], \quad (110)$$

$$K_1 = \frac{1}{R} (Z_V^2 \bar{J}_7 + Z_C^2 \bar{J}_9), \quad (111)$$

$$K_2 = -\frac{1}{R} (Z_V \bar{J}_7 + Z_C \bar{J}_9). \quad (112)$$

где $R = z_V - z_C$ — радиус зеркала, $Z_V = z_0 - z_V$, $Z_C = z_0 - z_C$, $Z_F = z_0 - z_F$, а

$$\begin{aligned} \bar{J}_1 &= -\frac{2g'_0}{p'_0} J_1, & \bar{J}_3 &= -\frac{2}{p'_0 g'_0} J_3, & \bar{J}_4 &= -\frac{2}{p'_0 g'_0} J_4, \\ \bar{J}_6 &= -\frac{2p'_0}{g'^3_0} J_6, & \bar{J}_7 &= -\frac{2g'_0}{p'_0} J_7, & \bar{J}_9 &= -\frac{2p'_0}{g'^3_0} J_9. \end{aligned} \quad (113)$$

Заметим, что выражения для постоянных aberrаций (106)–(112) в нерелятивистском приближении полностью совпадают с соответствующими выражениями [10] для электростатического зеркала.

3. Трехэлектродное зеркало, свободное от сферической и осевой хроматической aberrаций при учете релятивизма

В настоящей работе рассчитано трехэлектродное зеркало вращательной симметрии, состоящее из соосных цилиндров равного диаметра d , находящихся под потенциалами V_1, V_2, V_3 (рис. 1). При этом рассмотрен режим работы зеркала, когда начальная (предметная) плоскость

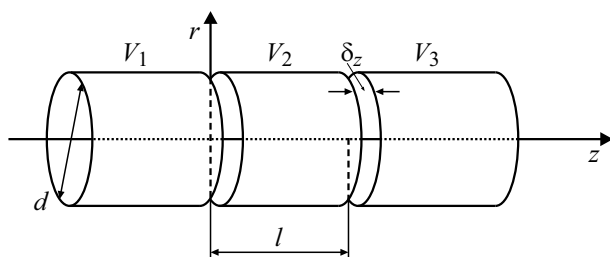


Рис. 1. Трехэлектродное зеркало вращательной симметрии. V_1, V_2, V_3 — потенциалы на электродах, d — диаметр цилиндра, l — длина среднего электрода, δ_z — ширина зазора между электродами.

совмещена с фокальной плоскостью зеркала, как и в работе [14].

Осевое распределение электростатического потенциала такого зеркала описывается соотношением [15]:

$$\Phi(z) = \frac{1}{2} \left[(V_1 + V_3) + \sum_{j=1}^2 (V_{i+1} - V_i) U(z - z_i) \right], \quad (114)$$

где

$$U(z - z_i) = \text{sign}(z - z_i)$$

$$\sum_{s=1}^{\infty} [1 - B_s \exp(-2\alpha_s |z - z_i|/d)], \quad (115)$$

$$B_s = \prod_{m=1}^{\infty} (1 - \alpha_s^2 / \alpha_m^2)_{s \neq m}^{-1}. \quad (116)$$

Здесь z_i — координата середины i -го зазора между электродами, α_s, α_m — корни функции Бесселя нулевого порядка. Принято, что положительное направление оси z совпадает с направлением движения падающих на зеркало ионов, а начало координат помещено в середине первого зазора (между первым и вторым электродами).

Расчет зеркала производился следующим образом. Для значения ширины среднего электрода $l = 0.6d$ находились значения положения предметной плоскости, совмещенной с фокальной плоскостью зеркала, а также значения потенциала V_2 на втором (среднем) электроде и запирающего потенциала V_3 на третьем электроде, обеспечивающие выполнение условий устранения сферической и осевой хроматической aberrации одновременно в зависимости от значения безразмерной величины γ^2 , представляющей собой количественную характеристику релятивистских эффектов поступающих в поле зеркала частиц.

Результаты расчета представлены на рис. 2–4. При этом на рис. 2 и 3 приведены значения положения

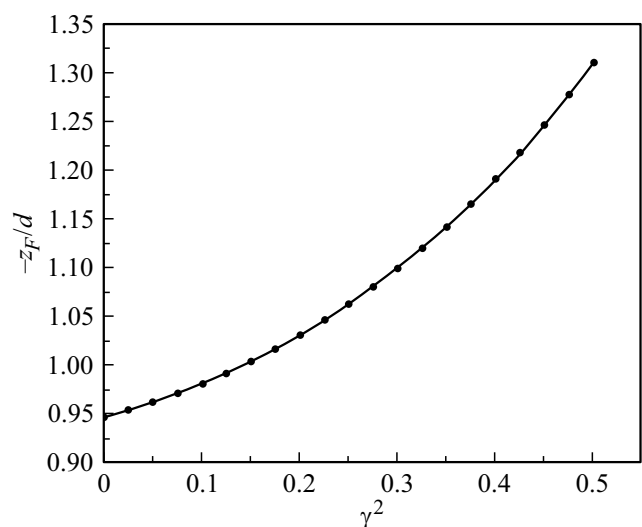


Рис. 2. Зависимость положения фокуса зеркала z_F от величины γ^2 .

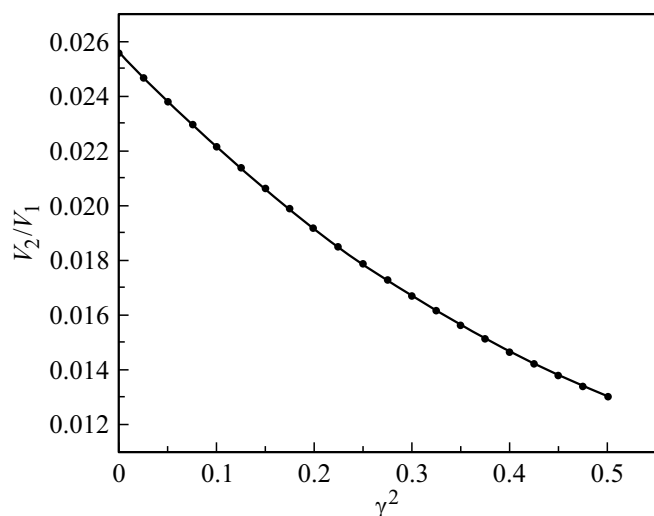


Рис. 3. Зависимость потенциала на среднем электроде V_2 от величины γ^2 .

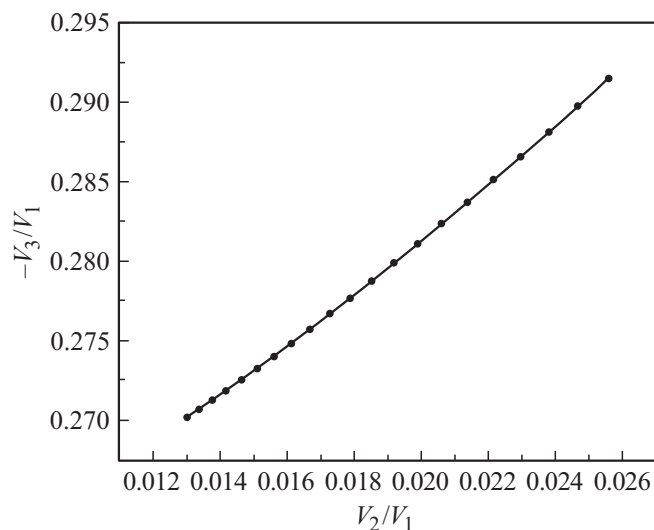


Рис. 4. Зависимость запирающего потенциала V_3 от потенциала V_2 .

фокуса зеркала z_F и потенциала на среднем электроде в зависимости от безразмерной величины γ^2 , а на рис. 4 — зависимость запирающего потенциала V_3 на третьем электроде от потенциала V_2 .

Заметим, что в нерелятивистском приближении результаты данных расчетов полностью совпадают с результатами [14].

Заключение

Известный метод теоретического исследования фокусировки пучков заряженных частиц, опирающийся на представление динамических уравнений в движущейся системе координат, связанной с „центральной“ частицей, обобщен на случай суб-релятивистских скоростей ча-

стиц. Такое представление существенно расширяет возможности теории фокусировки и позволяет выполнить абберационный анализ электронно-оптической системы в экстремальных случаях, когда кинетическая энергия в процессе движения частиц изменяется в предельно широком диапазоне энергий — от нулевых значений до величин, сравнимых с энергией покоя электрона. Такие ситуации возникают, например, в эмиссионных системах при ускорении пучков до больших энергий или при отражении релятивистских пучков в электростатических зеркалах.

Полученные результаты и формулы могут быть использованы при разработке новых схем корректоров сферохроматических аббераций электронных линз для нужд высоковольтной электронной микроскопии и пр. Необходимо отметить тот факт, что субрелятивистский режим работы электронного зеркала сопровождается не только появлением смещения положения гауссовой плоскости изображения, но также приводит к изменению электрических параметров зеркала, обеспечивающих условия одновременного устранения сферической и осевой хроматической аббераций. Учет этих изменений может привести к существенному улучшению качества электронного изображения за счет уменьшения основных сферохроматических электронно-оптических аббераций в сочетании с естественным уменьшением дифракционного рассеяния.

Финансирование работы

Работа выполнена при финансовой поддержке Комитета науки Министерства образования и науки Республики Казахстан (грант № AP05132483).

Конфликт интересов

Авторы заявляют, что у них нет конфликта интересов.

Список литературы

- [1] П. Хокс, Э. Каспер. *Основы электронной оптики* (Мир, М., 1993)
- [2] P.W. Hawkes. *Phil. Trans. R. Soc. A*, **367**, 3637 (2009).
- [3] M. Haider, H. Rose, S. Uhlemann, E. Schwan, B. Kabius, K. Urban. *Ultramicroscopy*, **75**, 53 (1998). DOI:10.1016/S0304-3991(98)00048-54
- [4] M. Haider, H. Muller, S. Uhlemann. *Adv. Imaging Electron Phys.*, **153**, 43 (2008).
- [5] G.F. Rempfer, *J. Appl. Phys.*, **67** (10), 6027 (1990).
- [6] D. Preikszas, H. Rose. *J. Electron Microsc.*, **46** (1), 1 (1997).
- [7] P. Hartel, D. Preikszas, R. Spehr, H. Muller, H. Rose. *Adv. Imaging Electron Phys.*, **120**, 41 (2002).
- [8] O. Krivanek, N. Dellby, R.J. Keyse, M. Murfitt, C. Own, Z. Szilagy. *Adv. Imaging Electron Phys.*, **153**, 121 (2008).
- [9] S.B. Bimurzaev, N.U. Aldiyarov, E.M. Yakushev. *Microscopy*, **66**, 356 (2017).
- [10] E.M. Yakushev, L.M. Sekunova. *Adv. Electronics Electron Phys.*, **68** (5), 337 (1986).

- [11] E.M. Yakushev Adv. Imaging Electron Phys., **178**, 147 (2013).
- [12] В. Глазер. *Основы электронной оптики* (ГИТТЛ, М., 1957)
- [13] Г. Корн, Т. Корн. *Справочник по математике для научных работников и инженеров* (Наука, М., 1968)
- [14] S.B. Vimurzaev, G.S. Serikbaeva, E.M. Yakushev. J. Electron Microscopy, **52** (4), 365 (2003).
- [15] Б.В. Бобыкин, Ю.А. Невинный, Е.М. Якушев. ЖТФ, **45**, 2368 (1975).